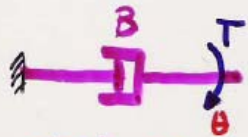


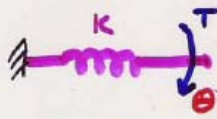
## Capítulo 2 (Cont)

### 2.3. Sistemas mecânicos de rotação

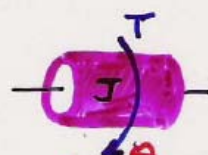
- componentes



atributo ou  
fricção rotativa  $B$   
( $N \cdot m/rad/s$ )



torsão  $K$   
 $N \cdot m/rad$



inércia  $J$   
 $kg \cdot m^2$

- fonte de energia  
 $\Delta T$   
Binário ( $N \cdot m$ )

Aplica-se um binário  $T(t)$ , produz-se uma rotação (deslocamento angular)  $\theta^\circ$  em relação à posição angular de repouso.

- leis

fricção  $B$

$$T(t) = B \frac{d\theta(t)}{dt}$$

$$= B \omega(t)$$

torsão  $K$

$$T(t) = K \theta(t)$$

inércia  $J$

$$T(t) = J \frac{d^2\theta(t)}{dt^2}$$

$$= J \alpha(t)$$

- parâmetros:  $B, K, J$

- armazenadores de energia:

$$\text{torsão: } \ell = \frac{1}{2} K \theta^2 \quad (\text{potencial})$$

$$\text{inércia: } \ell = \frac{1}{2} J \omega^2 = \frac{1}{2} J(\dot{\theta})^2 \quad (\text{cinética}).$$

- dissipador de energia:

$$\text{fricção rotativa: } W = B \omega^2 = B(\dot{\theta})^2 \quad (\text{Joules ou } N \cdot m)$$

(potência)

- princípio fundamental de analise

lei de Newton

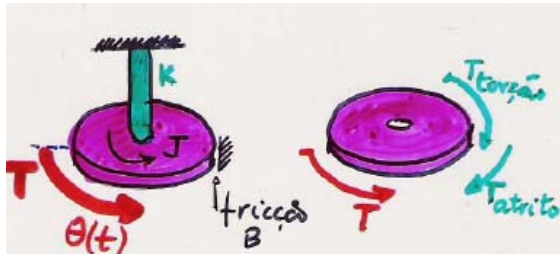
$$T = J \cdot \alpha$$

some de todos os  
binários aplicados  
(em relação ao eixo  
fixo do corpo).

momento  
de inércia  
do corpo

acelerações  
angulares

Exemplo: Disco suspenso por um eixo fixo na outra extremidade



$K \triangleq$  coeficiente de torções do eixo  
 $B \triangleq$  fricção entre o disco  
e a superfície exterior  
 $T \triangleq$  binário exterior aplicado  
 $J \triangleq$  momento de inércia em  
relação ao eixo.

Quais são os binários aplicados ao disco?

- binário exterior  $T(t)$
- binário resultante da torções do eixo,  $T_{torsão} = K \theta(t)$
- binário devido ao atrito  $B$ ,  $T_{atrito} = B \dot{\theta}(t) = B \omega(t)$

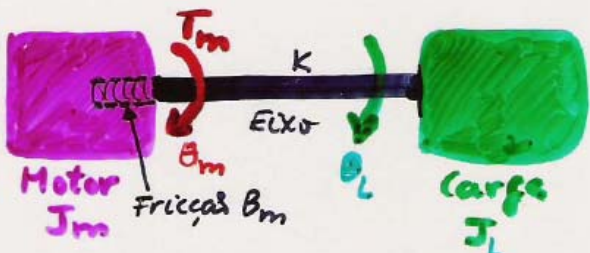
Lei de Newton aplicada ao disco

$$T - T_{torsão} - T_{atrito} = J \ddot{\theta}$$

$$T - K\theta - B\dot{\theta} = J\ddot{\theta} \Rightarrow J\ddot{\theta} + B\dot{\theta} + K\theta = T$$

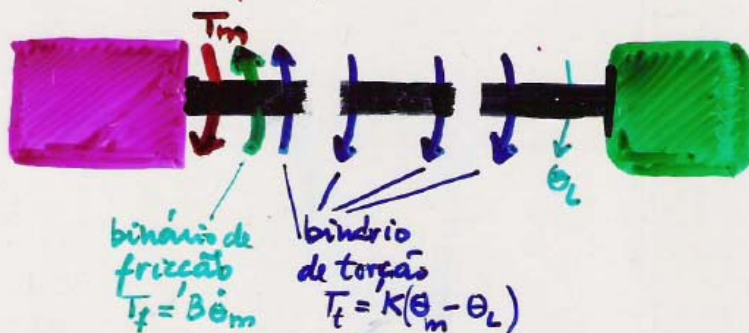
$$\ddot{\theta} + \frac{B}{J}\dot{\theta} + \frac{K}{J}\theta = \frac{T}{J}, \text{ eq. dif. 2-ndem, linear invariante}$$

Exemplo 2: Motor com carga acoplada



O motor aplica  $T_m$  ao eixo. Este opõe-se-lhe com o binário de torção mais o binário de atrito.

O eixo aplica à carga o seu binário de torção. É este que produz a rotação da carga (se o coeficiente de torção  $K$  fosse nulo, não era possível transmitir qualquer binário à carga)



$T_m \triangleq$  binário do motor

$J_m \triangleq$  momento de inércia do motor + eixo

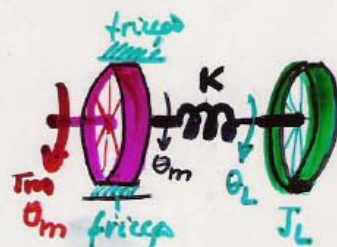
$B_m \triangleq$  coef. de fricção interna do motor

$K \triangleq$  coef. de torções do eixo

$J_L \triangleq$  momento de inércia da carga

$\theta_m \triangleq$  deslocamento angular do motor

$\theta_L \triangleq$  desloc. ang. da carga



Lei de Newton aplicada ao motor

$$T_m - B\dot{\theta}_m - K(\theta_m - \theta_L) = J_m \ddot{\theta}_m$$

Lei de Newton aplicada à carga

$$K(\theta_m - \theta_L) = J_L \ddot{\theta}_L$$

$$\ddot{\theta}_m + \frac{B}{J_m} \dot{\theta}_m + \frac{K}{J_m} (\theta_m - \theta_L) = \frac{T_m}{J_m}$$

$$\ddot{\theta}_L - \frac{K}{J_L} (\theta_m - \theta_L) = 0 \quad (\text{eq. dif. lin. 2-ord. coef. const.})$$

reduíveis a 1 eq. dif. de 4º ordem

Exemplo 3: Orientação de um satélite

As antenas de um satélite de telecomunicações têm que estar bem orientadas em relação à estação terrestre. Se por qualquer razão o satélite gira inadvertidamente em torno do seu eixo, perde-se o contacto.

Por isso os satélites estão equipados com mecanismo que lhes permite (sob controlo terrestre) orientar-se (segundo as três coordenadas espaciais). Em relação

a um eixo perpendicular à página para-se como ilustrado na figura.

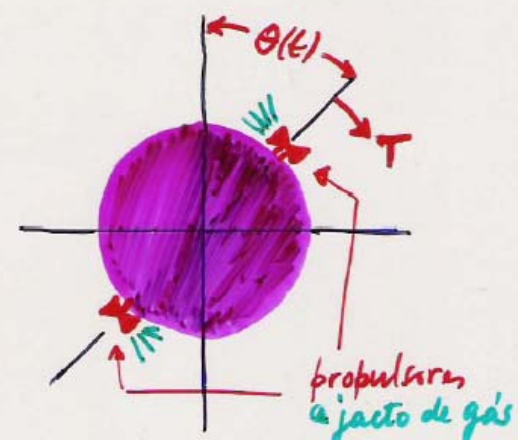
**Propulsora** - aplicam um binário de rotação, em ambos os sentidos, conforme se disparado.

Admitindo que não há atrito e que o centro de

satélite é rígido (não se deforma), tendo o satélite momento de inércia  $J$ ,

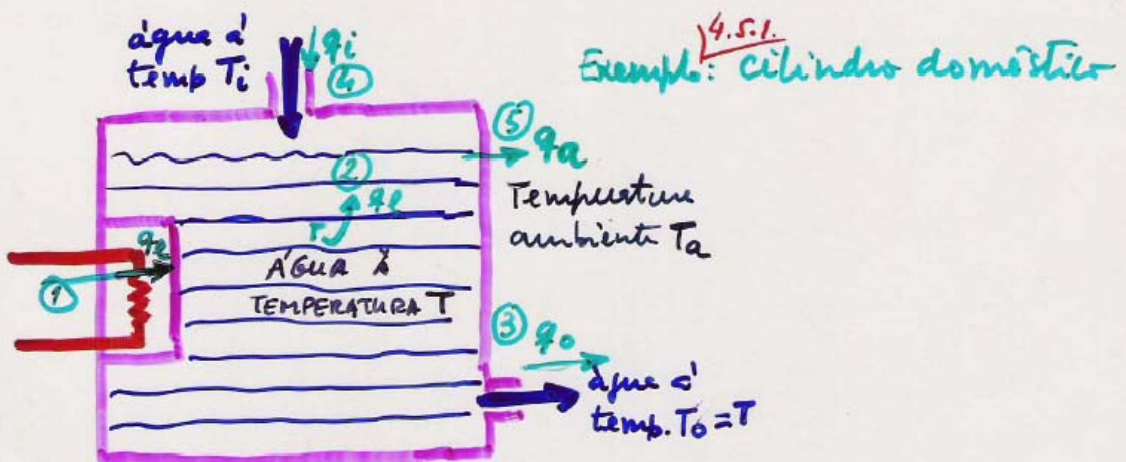
$$T = J \ddot{\theta}$$

é a expressão do movimento do satélite em torno do eixo referido.



## 2.4 Sistemas térmicos

Os sistemas térmicos transmitem e armazenam energia térmica (quantidade de calor).



- ①  $q_e \triangleq$  quantidade de calor fornecido pela resistência elétrica
- ②  $q_p \triangleq$  quantidade de calor absorvida pelo água no cilindro
- ③  $q_o \triangleq$  quantidade de calor que sai do cilindro (na água)
- ④  $q_i \triangleq$  quantidade de calor que entra no cilindro (na água)
- ⑤  $q_a \triangleq$  quantidade de calor que passa (pela parede) para fora.

### PRINCÍPIO DA CONSERVAÇÃO DA ENERGIA

$$q_e + q_i = q_p + \underbrace{q_o}_{\substack{\text{calor que sai} \\ \text{que fica}}} + \underbrace{q_a}_{\substack{\text{calor que sai} \\ \text{que fica}}}$$

## calculo dos diversos $q$ 's

- $q_e$ : fornecido pela resistência elétrica em cada instante,

$$q_e = R i^2 \cong u$$

- $q_l$ : absorvido pela água no cilindro durante um intervalo de tempo  $\Delta t$

$$q_l \cdot \Delta t = M \cdot c \cdot \Delta T$$

massade  
água      calor  
específico da água      variaçãode  
temp. da água

$$q_l = M \cdot c \cdot \frac{\Delta T}{\Delta t} \quad \xrightarrow{\lim \Delta t \rightarrow 0} \quad q_l = M \cdot c \frac{dT}{dt}$$

- $q_i$ : fornecido na água que entra com caudal  $V(\text{kg/s})$  à temperatura  $T_i$

$$q_i = V \cdot c \cdot T_i$$

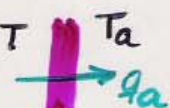
- $q_o$ : sai, com a água, do cilindro

$$q_o = V \cdot c \cdot T \quad (\text{admitindo que a caudal de saída é igual à de entrada})$$

- $q_a$ : perde-se para o ambiente através da parede

$R \cong$  resistência térmica da parede

$$q_a = \frac{T - T_a}{R}$$

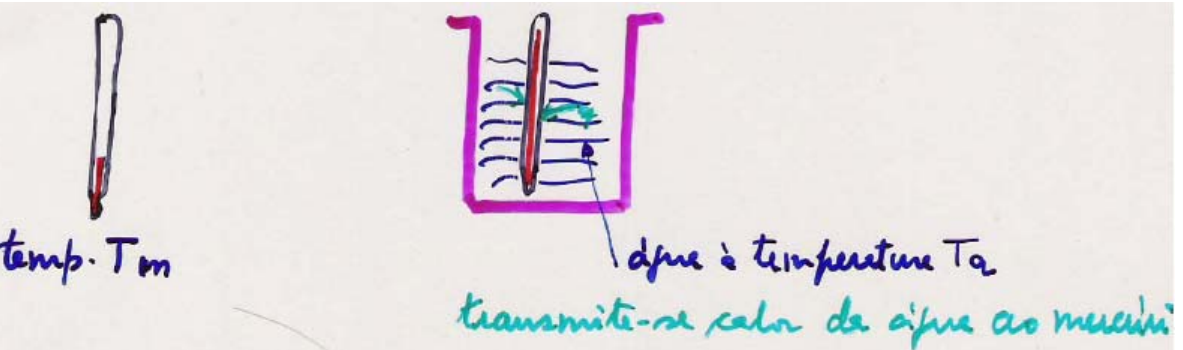


substituindo na equação do balanço de energia

$$u + V \cdot c \cdot T_i = M \cdot c \cdot \frac{dT}{dt} + V \cdot c \cdot T + \frac{T - T_a}{R}$$

$$\dot{T} + \left( \frac{1}{RMc} + \frac{V}{M} \right) T = \frac{1}{Mc} u + \frac{V}{M} T_i + \frac{V}{R \cdot M \cdot c} T_a$$

Exemplo: Termómetro de mercúrio (de Carvalho, M).



quantidade de calor transmitida ao mercúrio em cada instante:

$$q(t) = \frac{T_a - T_m(t)}{R}$$

$$T_m(t) \approx T_a$$

paredes do termômetro

incremento da temperatura do mercúrio

$T_m(0)$  ≈ temperatura inicial do mercúrio

$T_m(t) - T_m(0)$  ≈ incremento de temperatura

$C$  ≈ capacidade térmica do mercúrio (total)

$C \cdot T_m(t)$  ≈ quantidade de calor contida no mercúrio

$C \cdot (T_m(t) - T_m(0))$  ≈ quantidade de calor aborbi-  
do pelo mercúrio desde 0 até  $t$

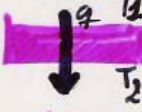
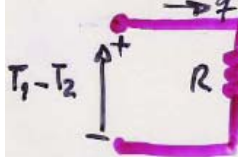
balance de energia

$$\underbrace{q(t) \cdot \Delta t}_{\text{quantidade de calor fornecido através de paredes}} = \underbrace{\Delta [C \cdot T_m(t)]}_{\text{incremento da quantidade de calor contido no mercúrio}} = C \cdot \Delta T_m(t)$$

$$\frac{T_a - T_m}{R} = C \frac{\Delta T_m}{\Delta t} \xrightarrow{\Delta t \rightarrow 0} RC \dot{T}_m + T_m = T_a$$

$$\dot{T}_m + \frac{1}{RC} T_m = \frac{1}{RC} T_a$$

Comparação com os eléctricos:

elemento dissipador	elemento armazenador de energia
 <b>Resistência Térmica</b> $q = hA(T_1 - T_2)$ $q = \frac{1}{R} (T_1 - T_2)$	 <b>capacitância térmica</b> $q = (\rho V c) \dot{T} = \rho V c \frac{dT}{dt}$ $q = C \cdot \frac{dT}{dt}$
 $q = \frac{T_1 - T_2}{R}$	 $q = C \frac{dT}{dt}$
<b>Térmico</b>	<b>Elétrico</b>
resistência térmica $R$ capacidade térmica $C$ temperatura $T$ fluxo de calor, $q$	resistência elétrica $R$ capacidade elétrica $C$ potencial $V$ corrente $i$

Quadro de analogias elétricas  $\leftrightarrow$  térmicas

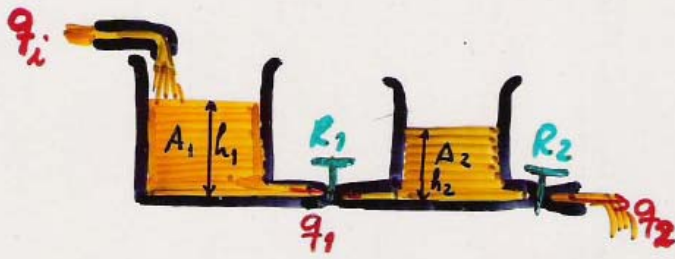
Sistemas análogos: sistemas de natureza energética diferente (neste caso elétrico e térmica) mas com a mesma estrutura (componentes que têm funções análogas e sinais análogos). As suas equações diferenciais têm a mesma forma.

Dois sinais são análogos se, embora de natureza diferente (corrente, calor, por exemplo), têm a mesma evolução temporal.

Dois componentes são análogos se exercem sobre os respectivos sinais de entrada o mesmo efeito.

## 2.5 Sistemas fluídicos

Sistemas fluídicos são aqueles em que circulam e se armazenam fluidos, normalmente líquidos. Por exemplo dois vasos (tanques) comunicantes por uma válvula.



$A_1, A_2 \triangleq$  secções dos vasos  $(\text{m}^2)$   
 $R_1, R_2 \triangleq$  resistências  
 fluídicas das válvulas  
 de passagem  
 $q_1, q_2, q_3 \triangleq$  caudais,  
 $\text{m}^3/\text{s}$

$$q_1 = \frac{h_1 - h_2}{R_1}, \quad q_2 = \frac{h_2}{R_2}$$

$h_1, h_2 \triangleq$  níveis do líquido.

Durante um intervalo de tempo  $\Delta t$ , em cada vaso entrou e saiu uma certa quantidade de líquido. Por isso os níveis variaram  $\Delta h_1$  e  $\Delta h_2$  e os volumes  $A_1 \Delta h_1$  e  $A_2 \Delta h_2$ .

Para o vaso 1:  $A_1 \Delta h_1 = q_i \Delta t - q_1 \Delta t$

aumento de volume = aquele entrado - o que saiu

Para o vaso 2:  $A_2 \Delta h_2 = q_1 \Delta t - q_2 \Delta t$

$$A_1 \frac{\Delta h_1}{\Delta t} = q_i - q_1$$

$$\lim_{\Delta t \rightarrow 0} A_1 \frac{\Delta h_1}{\Delta t} = q_i - q_1$$

$$A_2 \frac{\Delta h_2}{\Delta t} = q_1 - q_2$$

$$\lim_{\Delta t \rightarrow 0} A_2 \frac{\Delta h_2}{\Delta t} = q_1 - q_2$$

$$A_1 \dot{h}_1(t) = q_i(t) - q_1(t)$$

$$A_2 \dot{h}_2(t) = q_1(t) - q_2(t)$$

$$R_1 \dot{q}_1 = \dot{h}_1 - \dot{h}_2 \quad R_2 \dot{q}_2 = \dot{h}_2$$

$$\dot{h}_1 = R_1 \dot{q}_1 + R_2 \dot{q}_2$$

$$A_1 R_1 \dot{q}_1 + A_2 R_2 \dot{q}_2 = \dot{q}_i - \dot{q}_L$$

$$A_2 R_2 \dot{q}_2 = \dot{q}_i - \dot{q}_2$$

$$\Rightarrow \dot{q}_1 = A_2 R_2 \dot{q}_2 + \dot{q}_2$$

$$\dot{q}_1 = A_2 R_2 \ddot{q}_2 + \dot{q}_2$$

$$A_1 A_2 R_1 R_2 \ddot{q}_2 + (A_1 R_1 + A_2 R_2 + A_1 R_2) \dot{q}_2 + \dot{q}_2 = \dot{q}_i$$

